

### III-72 砂の液状化に関する一考察

京都大学防災研究所 正員・柴田 徹  
川崎製鉄建設技術部 正員・行友 浩

#### 1. まえがき

飽和したゆるい砂は、比較的速い繰り返せん断をうけると液状化現象を生じることがよく知られており、地震時の地盤災害と関連して従来から数多くの研究がなされている。筆者らはさきに文献<sup>1)</sup>において、液状化発生・繰り返し回数をせん断応力  $T_d$  と重直応力  $\sigma_v$  の関数として表示し、地中の土要素に所定のせん断応力を繰り返して加えた際に飽和砂中に発生し、かつ累加していく過剰間隙水圧について考察した。ついで液状化は土要素に加わる有効重直応力が次第に減少し、やがて破壊包絡線に到達する過程と解釈して、その結果を適用して、  $\sigma_v$  一走り繰り返し三軸試験ならびに繰り返し単純せん断試験データ<sup>2)</sup> を検討し、各種の実験結果が矛盾なく説明できるところ述べた。その後、砂の密度を数種類に変え、やはり  $\sigma_v$  一走り繰り返し三軸試験を行なったところ、前論文<sup>1)</sup>の要旨に新しいデータの検討結果を加えて以下に報告する。

#### 2. 砂の液状化と有効応力

地盤内の土要素は、地震時には主として下部から伝達されるせん断波によって変形をうけるといわれる。したがって土要素は、地中に何回も方向を変える一連の周期的せん断応力や変形をうけることになり、水平な地表面をもつ場合には、せん断面に作用する  $\sigma_v$  は一走りまま、方向が逆転するせん断応力  $T_d$  を繰り返しうける。

図-1(a)は載荷条件を全応力表示のモール円であらわしたものであり、仮りに①を圧縮、②を伸張状態とよぶことにする。①と②ではそれぞれ最大、最小主応力  $\sigma_1, \sigma_3$  の大きさは等しいが、せん断応力の方向が逆転している点で異なる。また図-1(b)はそのときの有効応力軌跡であり、圧縮から伸張へ移る過程と、伸張から圧縮へ移る過程では直線の傾斜を変えて表わしている。この模式図によると、  $\sigma_v$  が一走りの状態で何回も方向を変える周期的せん断応力をうけると、過剰間隙水圧が累加されて増加するため有効重直応力  $\sigma_v'$  は徐々に減少し、その有効応力軌跡は左方に進行し、ついで破壊包絡線に到達した状態で液状化が初めてなる過程となることができる。

#### 3. 液状化解析の要旨

地中に発生する間隙水圧の変化  $\Delta u$  は

$$\Delta u = \Delta \sigma_m + \alpha \cdot \Delta T_{act} \quad (1)$$

であることができる。ここで  $\Delta \sigma_m$ : 平均主応力の変化、  $\Delta T_{act}$ : 正八面体せん断応力の変化、  $\alpha$ : ダイレイターンシ一係数と圧縮係数の比である。  $\Delta \sigma_m = 0$  の条件を用い、図-1(a)を参照して ①  $\rightarrow$  ② の過程中に発生

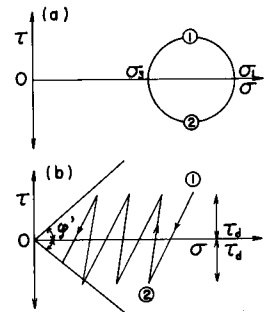


図-1 (a) 応力条件  
(b) 有効応力軌跡

する  $\Delta u$  の一般的な表示を求めると、

$$\Delta u = \sqrt{8/3} \cdot \alpha \cdot T_d \quad (2)$$

となる。また ① の圧縮から ② の伸張に移る場合と、モリ逆の場合とでは図-1(6)に示したように  $\alpha$  の値に差があることを考慮し、繰り返しの 1 サイクル中に発生する過剰間隙水圧  $\Delta \bar{u}$  を求めると結局

$$\Delta \bar{u} = \alpha \left\{ \left( \frac{T_d}{\sigma_v} \right) - \left( \frac{T_d}{\sigma_v} \right)_c \right\} T_d \quad (3)$$

となる。ここで  $\alpha$ : 土の種類、密度によるべきなる係数、 $(T_d/\sigma_v)_c$ : 液状化が発生しない限界の  $(T_d/\sigma_v)$  値である。

式(3)を導く際に  $\alpha (= \Delta u / \Delta T_{\text{oct}})$  が  $\Delta T_{\text{oct}}/\sigma_m$  に比例して増加するとして仮定を設けているが、それは作用する  $T_d$  が大きいほど  $\alpha$  も大きくなり、たとえば砂について  $\sigma_m$  を一定に保持せん断試験結果をみると、 $\Delta u / \sigma_m \sim \Delta T_{\text{oct}} / \sigma_m$  間際に放物線で近似できるものが多いといふ事実にもとづいている。

つぎに 1 サイクル中に発生する  $\Delta \bar{u}$  が繰り返し過程中を通じていかに変化するかを調べたところ、Yen は述べているように、繰り返しの初期で除いてはほぼ一定値とみなしても差しえないことがわかるので、その後過程中に  $\Delta \bar{u}$  が不变と仮定する。こうすると  $\Delta \bar{u} = \text{一定}$  すれば、液状化が発生するに要する繰り返し回数  $n_1$  は図-1(6)を参照して次式で与えられるところである。

$$n_1 = (\sigma_v - T_d \cdot \cot \varphi') / \Delta \bar{u} \\ = \left\{ \left( \frac{\sigma_v}{T_d} \right) - \cot \varphi' \right\} / \alpha \left\{ \left( \frac{T_d}{\sigma_v} \right) - \left( \frac{T_d}{\sigma_v} \right)_c \right\} \quad (4)$$

式(4)が提案式であるて、液状化発生までの繰り返し回数  $n_1$  は地盤中の土要素に作用している  $\sigma_v$  と、与えられる  $T_d$  の関数となり、 $\sigma_v$  が大きくなるほど、また  $T_d$  が小さくなるほど液状化は起り難いことを示している。

#### 4. 試験装置と試料

$\sigma_v$  一連で、しかも圧縮と伸張の両方にまたがる繰り返せん断試験を行なうために文献4)で既に紹介した振動三軸試験機で一部改良して使用した。実験は砂試料の密度を数種類に変え、 $\sigma_v$  と  $T_d$  の組合せを色々に変えて行なった。繰り返しは全試験を通じて 2 cps とし、液状化が発生するまで供試体の軸方向変位、間隙水圧の変動を記録した。試料は水で飽和した豊浦標準砂であり、最大・最小間隙比はそれぞれ 0.95, 0.64 である。

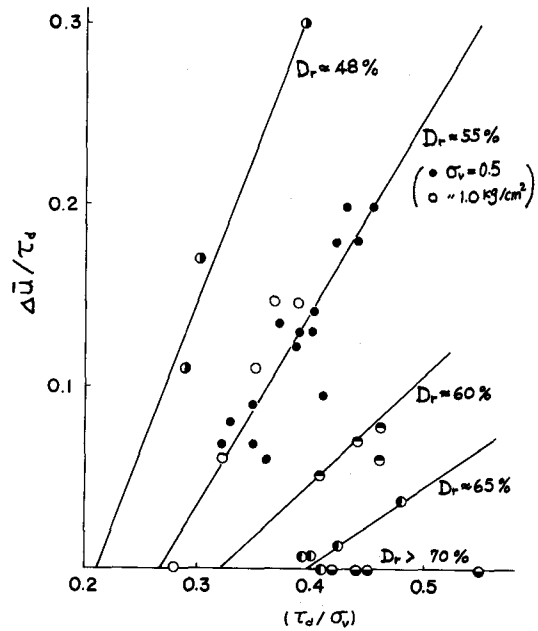


図-2 種々の密度における  $\Delta u/T_d$  と  $T_d/\sigma_v$  の関係

## 5. 実験結果と考察

図-2は初期液状化発生までの各サイクルごとの向げき水圧の増分  $\Delta \bar{U}$  の平均値を求め、 $\Delta \bar{U}/T_d$  と  $T_d/\sigma_v$  の関係にプロットしたもので、相対密度  $D_r \approx 48, 55, 60, 65\%$  のいずれについても、直線群を描くことができる。式(3)中に含まれる係数  $a_1, (T_d/\sigma_v)_c$  が求められる。そしてこれらの係数値ならびに  $\eta'$  を用いて式(4)を計算した結果は、それぞれの密度に対して図-3中の実線にて示してある。

砂の密度を種々に変え、 $\sigma_v$  と  $T_d$  の大きさを種々に組み合わせた結果について調べてみると、図の場合、 $D_r$  が小さいほど、 $T_d$  が大きいほど、また  $\sigma_v$  の小さいほど液状化が起こり易いと報告されている。ここで式(4)によれば液状化発生回数  $n_f$  は  $T_d/\sigma_v$  の関数であるので、すべてデータを  $T_d/\sigma_v \sim n_f$  の関係に整理してみる。その結果が図-3にプロットされており、これによると、密度が同じであれば  $T_d/\sigma_v \sim n_f$  の間に一義的な関係があること、および図-3の4枚を比較すると、密度が高くなるほど同じ  $n_f$ に対する  $T_d/\sigma_v$  の値は大きくなることがわかる。また式(4)を書いた曲線は実験値の傾向と量的によく一致しているといえよう。

このように試料に作用する  $T_d/\sigma_v$  値が同じであっても、密度が低くなれば液状化し易くなる現象はダイレイタシード起因する過剰向げき水圧が大きくなるためと理解されるが、これは式(3)中に含まれる係数  $a_1, (T_d/\sigma_v)_c$  によって量的に評価できる。すなわち図-4(a)(b)はこれら係数値を、液状化が発生しない限界相対密度  $D_{rc}$  と相対密度  $D_r$  の差 ( $D_{rc} - D_r$ ) に対してプロットしたものであり、この図によれば  $D_r$  の増加とともに  $a_1$  は減少し、 $(T_d/\sigma_v)_c$  は増加することがわかる。ただし使用した砂の  $D_{rc}$  は約 70% である。

以上で砂の液状化を支配する四要素  $T_d, \sigma_v, D_r$  および  $n_f$  の相互関係を検討したが、これを  $T_d/\sigma_v \sim D_r \sim n_f$  関係に統括すると図-5の曲面が描かれる。この曲面が初期液状化を規定するもので、たとえば  $D_r$  と  $T_d/\sigma_v$  が与えられれば  $n_f$  を求めることができ。この図は一応、 $n_f < 100$  回、 $50 < D_r < 65\%$  の範囲に限差しているが、 $D_r$  軸に垂直な平面と液状化面の交線は、すでに図-3で説明した曲線となることは明白である（ただし図-3では  $n_f$  は対数）。すなわち密度が一定

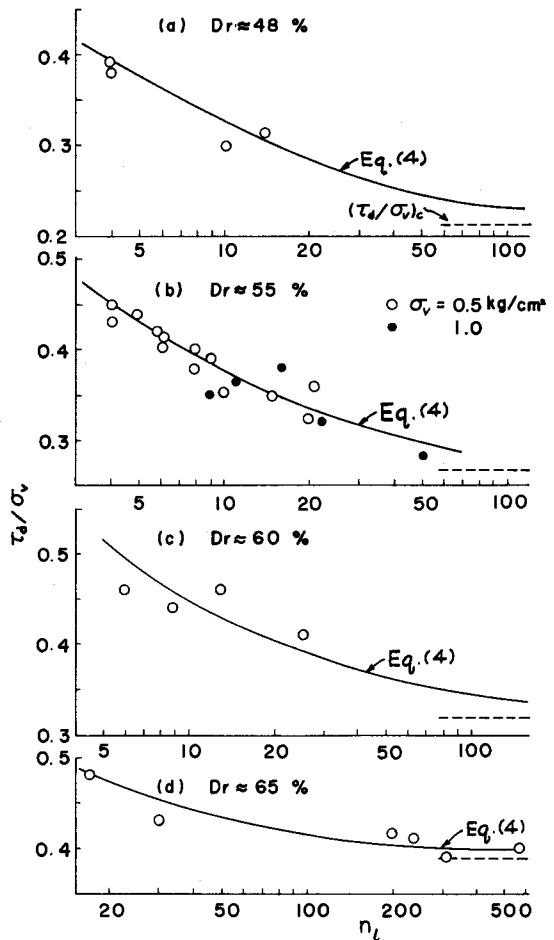


図-3 種々の密度における  $T_d/\sigma_v$  と  $n_f$  の関係

ならば、 $T_d/\sigma_v \sim n_1$  関係は一義的で関係が成立し、 $n_1$  を走り $3$  と $T_d \sim \sigma_v$  関係が原点を通る直線で示されることはわかる。

なお液状化が生じる限界の $(T_d/\sigma_v)_c$  は、前述のように $\Delta u/T_d = 0$  すなわち排水状態でも $1$  サイクル中に体積変化が無いといふことであるから、弾性的挙動に対する降伏値と解釈することができる。そして平均主応力一定の条件で砂の静的・排水せん断試験を行なった結果によると、体積変化が生じないときの $T_d/\sigma_v$  比はその材料の物理密度 $\gamma_m$  に対応している。仮りに砂の $\gamma_m = 17$  とすれば $(T_d/\sigma_v) \approx 0.3$  であるが、図-4(a)より明らかなるようにこの値は密度によって変動し、低密度では $0.3$  よりも小さくなる。砂の高速繰り返しと静的挙動との相違として解明すべき一つの問題である。

## 6. むすび

飽和砂の繰り返しせん断による液状化の発生は、砂のダイレクトシード起因する有効応力の減少とともにせん断破壊状態への接近過程と考え、液状化発生に要する繰り返し回数 $n_1$  を、繰り返しせん断応力 $T_d$  と偏直応力 $\sigma_v$  の比 $T_d/\sigma_v$  の関数で式(4)のように表現した。その結果は図-3 に示しておき、 $T_d/\sigma_v \sim n_1$  関係をあらわす実験値の傾向と量的にもよい完全に一致し、したがって $T_d$  が大きいほど、また $\sigma_v$  が小さいほど液状化が発生し易いといふ事実を矛盾なく説明することができた。

また液状化を支配する要因の一つに砂の密度があり、これ影響についても基本式中に含まれる $2\gamma$  の係数との関連において若干の考察を加えた。

## 参考文献

- 柴田、行友：飽和砂の繰り返し載荷による液状化現象の研究、土木学会論文報告集、180号、1970, p. 73.
- Peacock, W.H. & H.B. Seed : Sand Liquefaction under Cyclic Loading Simple Shear Conditions, Proc. ASCE, vol. 94, SM. 3, 1968, p. 689.
- Yen, B.C. : Viscosity of Saturated Sand near Liquefaction, Proc. Int. Sympo. Wave propagation, New Mexico, 1967, p. 877.
- 柴田、行友：砂の動態強度について、土木学会論文報告集、176号、1970, p. 75.
- Frydman, S. & J.G. Zeitlin : Some Pseudo Elastic Properties of Granular Media, Proc. I. C. S. M. F. E., vol. 1, 1969, p. 135

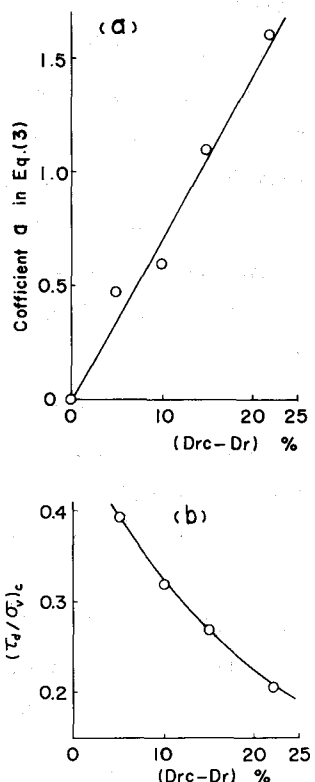


図-4 式(3)中の係数の密度による変化。

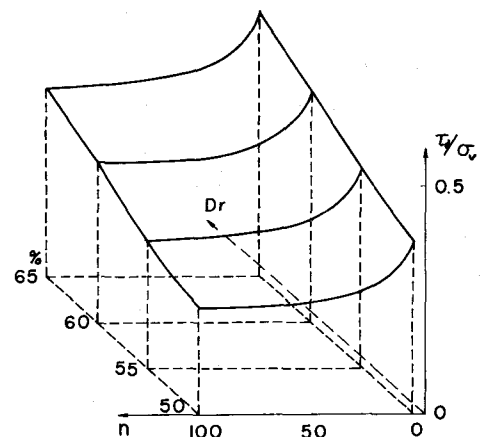


図-5 初期液状化面